

山东科学实验成果資料

編号：72-004

8 米² 球 团 豎 炉

济 南 钢 铁 厂

(内 部)

山东省革命委员会生产指挥部科技办公室情报组

一九七二年七月

毛主席語錄

路綫是个綱，綱舉目張。

中国应当对于人类有較大的貢獻。

人类总得不断地总结經驗，有所发现，有所发明，有所創造，有所前进。

目 录

一、前言	(1)
二、球团竖炉的原料、燃料条件	(1)
三、工艺流程图	(2)
四、竖炉生产试验的几个阶段	(6)
五、球团竖炉各项经济技术指标	(15)
六、球团矿在255M ³ 高炉中的使用效果	(18)
七、存在的主要问题	(19)
八、今后作法	(20)

8米²球团竖炉

一、前 言

我厂8米²球团竖炉是在1.05米²(1.5×0.7米)球团竖炉半工业性试验的基础上，于1966年春天开始设计，1968年3月建成投产的工业性试验竖炉。

在毛主席无产阶级革命路线的指引下，广大革命职工，遵照毛主席“中国应当对于人类有较大的贡献”的伟大教导，发扬敢于革命，敢于创新，敢于攀登世界先进水平的雄心壮志，克服了重重困难，突破了一道道难关，使竖炉设备基本适应生产要求，产量和质量逐步上升，为高炉多吃精料，优质高产开辟了一条新路子。

我厂竖炉在生产发展过程中，大体上可分为四个阶段：

- (一) 68年3月——70年5月，群策群力，改进设备。
- (二) 70年5月——71年8月，抓主要矛盾，解决料层阻力大的问题。
- (三) 在炉内增设导风墙提高竖炉生产能力，
- (四) 利用炉口余热进行烘干生球试验。

经过四个阶段改进，使设备的作业率达到80%以上。竖炉实际平均日产量在600吨以上，日历平均日产量为462吨(均指高炉入炉量)。

二、球团竖炉的原料、燃料条件

(一) 原料条件

1. 化学分析

表一

原 料	化 学 分 析												烧碱	水	
	T Fe	FeO	MnO	SiO ₂	CaO	Al ₂ O ₃	MgO	S	P	Cu	Co	Ni	TiO ₂		
金岭精矿粉 (1960年)	67.20	28.55	0.08	1.37	1.26	0.31	1.19	0.24	0.026	0.031	0.008	痕	0.03	负值	8.0
金岭精矿粉 (72年5月)	65.7	26.0	0.144	2.78	1.6	0.61	2.03	0.145	0.024						
金岭精矿粉 (72年2月)	65.05	27.0	0.19	3.24	1.6	1.93	1.72	0.56	0.03						9.4
消石灰	5.60	2.38	0.015	4.42	60.3	1.55									18.7

2. 粒度组成

表二

原料名称	粒 度 组 成 (%)							
	<5mm	5~3mm	3~0mm	<75目	<100目	<180目	<200目	>200目
金岭精矿粉				2.4	6.2	20.7	10.3	60.4
消石灰	100							

注：(1)金岭精矿为磁铁精矿，粒度较细， SiO_2 较低，造球性能较好，软化温度区间较宽。

(2)所用石灰系公社土窑焙烧，质量欠佳，人工消化粒度也无法保证。

3. 配料比：

表三

配 比 原 料	精 矿 粉		消 石 灰	
	公 斤	%	36	95.27
			1.8	4.73

(二) 燃料条件

高炉煤气成份

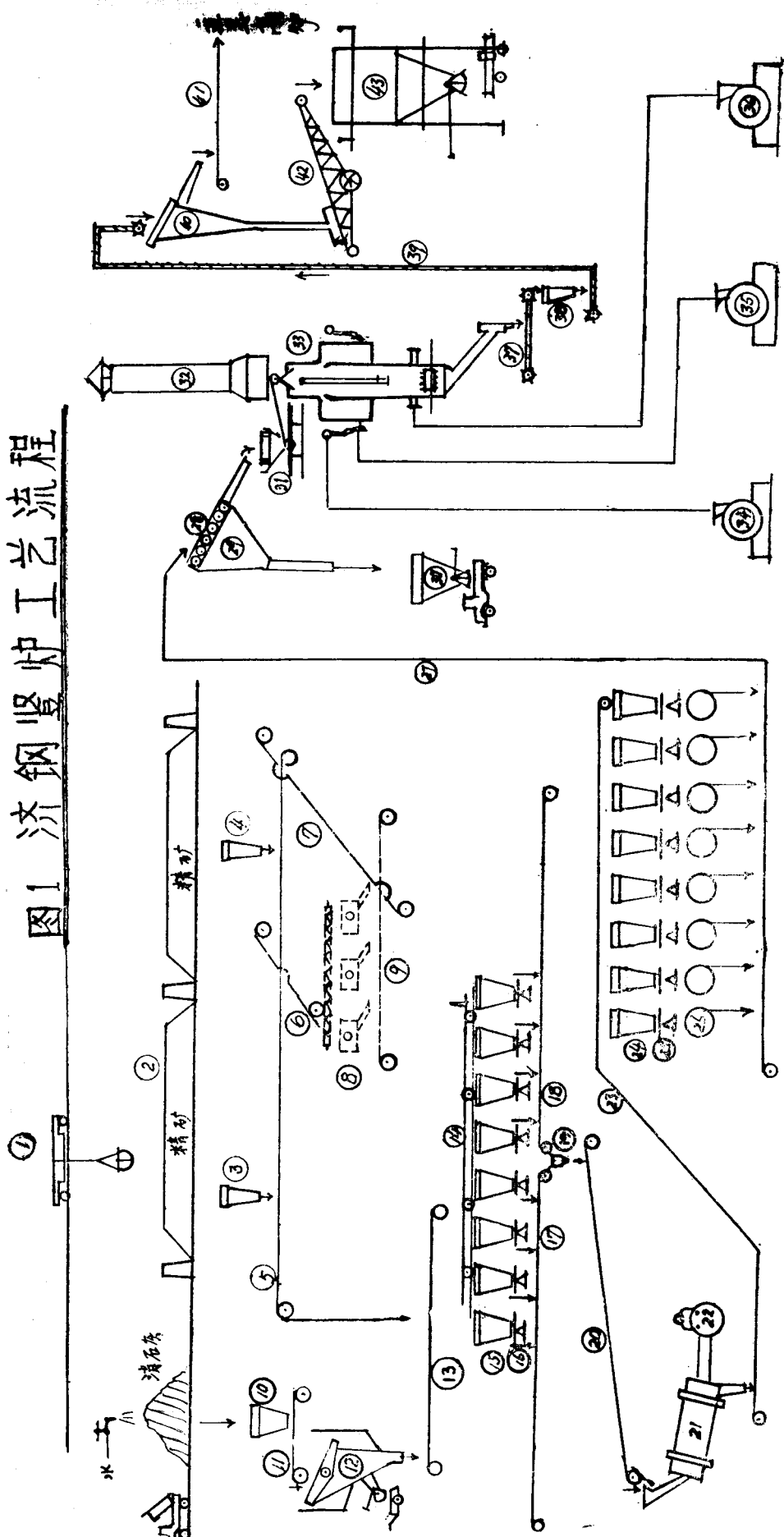
表四

项 目	CO_2	CO	O_2	H_2	CH_4	N_2	热 值 Q (低)
成份(%)	14.4	28.5	0.3	2.66	0.6	53.6	937.1

三、竖炉工艺流程图

竖炉工艺流程图

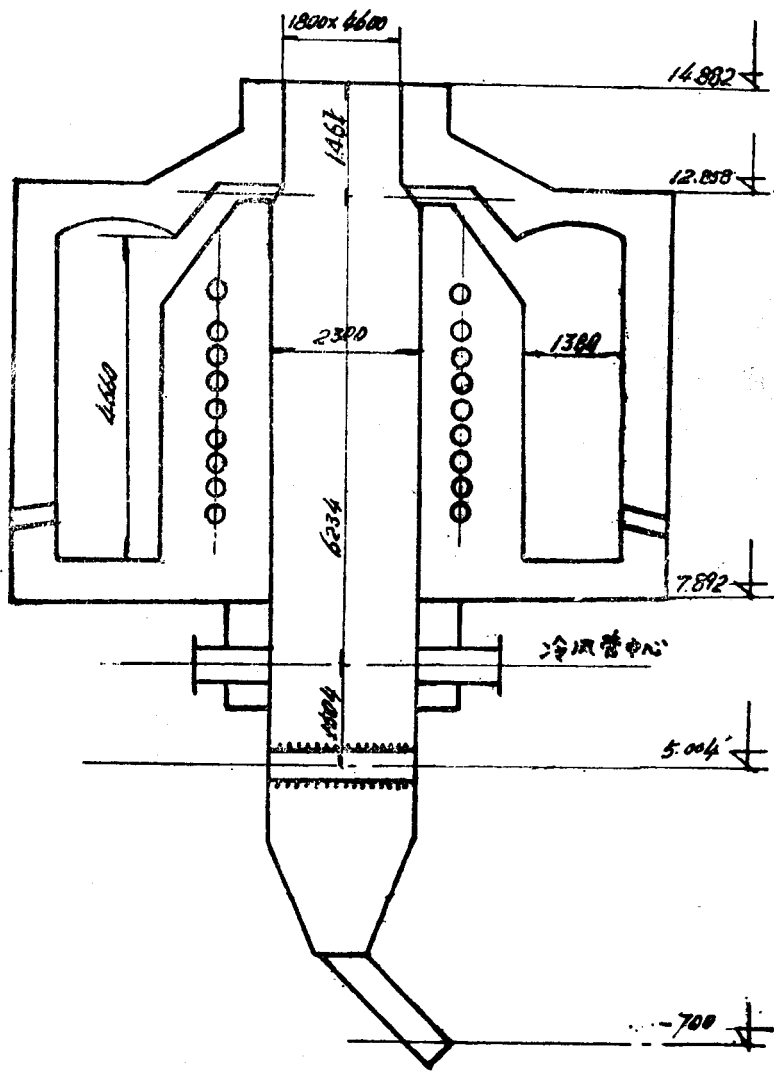
图1 济钢竖炉工艺流程



1.	桥式抓斗起重机 $Q = 5 \text{ T}$, 抓斗 1.5 M^3 2 台		
2.	精 矿 仓	$120,000 \times 27,000 \text{ m}^3$	
3.	精 矿 槽	34 M^3	
4.	粉 矿 槽	20 M^3	
5.	1 # 皮 带	$B = 650 \text{ mm}$, $V = 1 \text{ 米/秒}$, $Q = 258.6 \text{ 吨/时}$	
6.	2 # 皮 带	$B = 650 \text{ mm}$, $V = 1 \text{ 米/秒}$, $Q = 258.6 \text{ 吨/时}$	
7.	4 # 皮 带	$B = 650 \text{ mm}$, $V = 1 \text{ 米/秒}$	
8.	环 磨 机	3 台	
9.	3 # 皮 带	$B = 650 \text{ mm}$, $V = 1 \text{ 米/秒}$, $Q = 41.6 \text{ 吨/时}$	
10.	白 灰 料 槽	2 M^3	
11.	5 # 皮 带	$B = 500 \text{ mm}$, $V = 1 \text{ 米/秒}$	
12.	震 动 筛 料 槽	20 M^3	
13.	6 # 皮 带	$B = 650 \text{ mm}$, $V = 1 \text{ 米/秒}$, $Q = 258.6 \text{ 吨/时}$	
14.	梭 式 皮 带 机	$B = 650 \text{ mm}$,	
15.	精 矿 和 白 灰 槽	每个 52 M^3	
16.	$\Phi 1500 \text{ mm}$ 圆 盘 给 料 机	$V = 7.5 \text{ 转/分}$, $Q = 25 \text{ M}^3/\text{时}$	
17.	7 # 皮 带	$B = 500 \text{ mm}$, $V = 1 \text{ 米/秒}$, $Q = 120 \text{ 吨/时}$	
18.	8 # 皮 带	$B = 500 \text{ mm}$, $V = 1 \text{ 米/秒}$, $Q = 80 \text{ 吨/时}$	
19.	漏 子		
20.	9 # 皮 带	$B = 650 \text{ mm}$, $V = 1 \text{ 米/秒}$, $Q = 200 \text{ 吨/时}$	
21.	圆 筒 混 合 机	$2800 \times 6000 \text{ mm}$	
22.	煤 气 烘 干 炉		
23.	10 # 皮 带	$B = 1000 \text{ mm}$, $V = 1 \text{ 米/秒}$	
24.	混 合 料 槽		
25.	圆 盘 给 料 机	$\Phi 1000 \text{ mm}$	

26.	造 球 盘	$\Phi 3000 \text{ mm}$,	边高 400mm,	倾角 45° ,
			$Q = 8 \text{ 吨/时},$	$V = 12 \text{ 转/分}$
27.	11 # 皮 带	$B = 1000 \text{ mm},$	$V = 0.4 \text{ 米/秒},$	$Q = 50 \text{ 吨/时}$
28.	园 辊 筛	$1000 \times 1836 \text{ mm}$		
29.	漏 斗			
30.	返 矿 槽			
31.	佈 料 车 :	大 车 皮 带	$B = 650 \text{ mm},$	
		小 车 皮 带	$B = 650 \text{ mm},$	$Q = 50 \text{ 吨/时}$
32.	烟 囱	$\Phi 2000 \text{ mm}$		
33.	竖 炉	$8 M^2$		
34.	煤 气 加 压 机:	升压 960 mm 水柱,	煤 气 量 $4800 M^3/\text{时} \times 3 \text{ 台}$	
35.	助 燃 风 机:	风 压 $1420 \text{ mm},$	风 量 $11200 M^3/\text{时}$	
36.	冷 却 风 机:	风 压 $1690 \text{ mm},$	风 量 $42000 M^3/\text{时}$	
37.	小 链 板 机	$650 \times 14000 \text{ mm}$		
38.	中 间 贮 料 槽	$5 M^3$		
39.	12 # 链 板 机			
40.	篦 条 筛			
41.	13 # 皮 带 机	$B = 650 \text{ mm},$	$V = 1 \text{ 米/秒}$	$Q = 260 \text{ 吨/时}$
42.	移 动 皮 带 机	$B = 800 \text{ mm},$		
43.	返 矿 槽			

加导风墙前的炉型图



四、竖炉生产试验的几个阶段

(一) 群策群力 改进设备

竖炉刚一投产，就发现炉皮钢板烧红变形，燃烧室火嘴跑火，炉子被迫停产。经采取增设工字钢底座，加固火嘴等办法，解决了火嘴跑火问题（以后在火嘴周围烧灌钒土耐热水泥，从根本上解决了火嘴跑火问题）。在69年一次大修中，把炉子结构做了改进，经三年多时间生产实践，效果良好。炉子火嘴跑火现象解决后，炉口的布料车和炉子下边排矿用的摇运机经常出事故，竖炉无法正常生产。原有布料车的结构笨重，传动不合理，经改进，动

作灵活，布料均匀，检修方便，提高了设备作业率。

同时将摇运机改成链板运输机，减少了事故的发生，接着又把链板运输机前面的12#皮带运输机也改成链板机，解决了热球烧皮带的问题。

竖炉排矿设备，原来采用水泥厂机械立窑的三道密封闸门，由于当时竖炉炉内冷却效果差，排料温度过高，经常使闸门烧红变形，轴承和密封圈烧坏，造成闸门跑风和不能顺利开关，严重地影响竖炉正常生产，尤其是闸门上的油压传动系统，更不能在高温下生产，油缸曾发生过着火事故。经研究后，采用料柱密封——用长溜嘴，既节省笨重设备，又保证了排料。经过一系列的设备改进，作业率有显著的提高，达到了80%左右。

(二) 抓主要矛盾 解决料层阻力大的问题

设备上的一些问题解决了，在提高生产过程中，炉子本身的问题暴露出来了，主要表现在中心存在“死料柱”，料层阻力大，而边缘气流又过分发展，这样就限制了燃烧室废气量和冷却风量的增加。为了解决料层阻力大问题，在这一阶段，对竖炉进行了一系列试验和改进。

- (1) 为减少粉料入炉，在炉子大修时，增设了辊动筛。
- (2) 在第一次大修时，把喷火口面积扩大（喷火口面积由原 1.01米^2 增加到 1.55米^2 ）效果不显著。
- (3) 把冷却风进口位置向上移动3.05米（由辊下1.38米移至辊上1.67米处），降低了料层高度，增加了冷却风量。

在这个基础上又曾做过冷却风进口截面积扩大的试验，没有作用。

(4) 在炉子喷火口下2.6米处的炉子两端各开一个直径370毫米放风孔，把一部分冷却风从这里放出，冷却风量增加。但生产不久，这水平型管道被球团和灰尘堵住了，这次试验也就停止了。

(5) 往生球中配加固体燃料（固定炭控制在1%），虽然对改善干燥过程、强化焙烧，起了一定作用，但还不能从根本上解决料柱透气性问题。

(6) 在70年5月中修时，又作了三项试验：

第一、在喷火口下3.1米处增设二次冷却风的试验，虽使冷却风量增加了，但燃烧室压力升高了，大量的冷却风进入焙烧带，破坏了炉子的焙烧制度。

第二、炉口扩大也根本不能减少边缘气流，由于炉内料柱阻力没有解决，反而扩大和加深了炉中心的“死料柱”，并出现了炉口糊料现象。

第三、喷火口位置向上移动500毫米，降低了炉口至喷火口的料层阻力，燃烧室压力稍有降低（约降低150毫米水柱），但炉中心的“死料柱”仍然不能消除。

通过这一阶段试验，对如何解决气流穿不透中心的问题，当时存在两种方案，一个是增加风机压力和燃烧室压力，提高克服料层阻力的能力，增加冷却风量和废气量，来强化焙烧，提高产量；另一个是在现有条件下，从改革炉子工艺入手，采用“炉内短路”（即在炉内增设导风墙）措施，来增加冷却风量、燃烧室废气量，达到强化焙烧过程，提高生产率的目的。

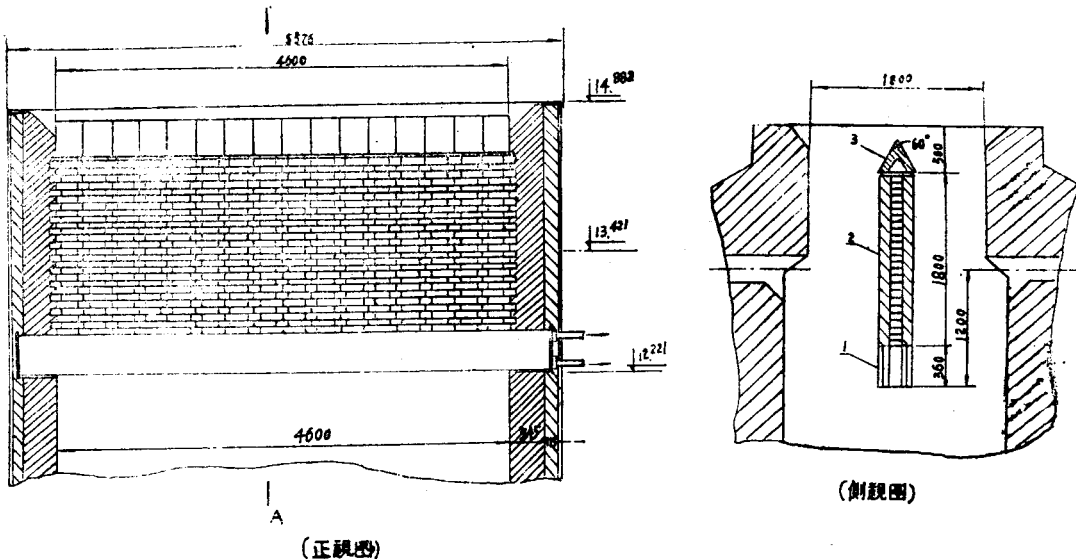
大家对这两个方案，进行了充分讨论、分析，认为前一个方案，需要把冷却风机换成高压的，由于炉内气流压力增加，使燃烧室压力增加，要求助燃风机和煤气的压力也要相应增加，炉子结构和密封性也要加强，排矿溜槽更需要采取密封措施，根据目前我厂具体情况，这些条件不易解决。就是这些问题能够解决，但适应高压条件的生球质量，目前也难以达到。因此，大家认为后一个方案是切实可行的。

(三) 炉内中心增设导风墙 提高竖炉生产能力

炉内中心增设导风墙措施，开始试验的主要目的是探求工艺的合理性。

1. 炉内增设导风墙结构(见图三)：

球团矿竖炉“炉内短路”试验图



件号	名称	材料及规格	材质	数 量	备 注
1	水 梁	400×360×5400	A ₃	1	焊接件
2	导风墙	230×115×65 粘土耐火砖	耐火砖	1300块	
3	风 帽		耐火混凝土	16	

图 3

在火道中心线下1.2米处，在炉墙两侧（指炉墙窄面）各打开近500×500毫米一个孔洞，然后将事先焊在一起的两根36#工字钢的水梁（见图三）平放在1.2米处墙的平面上，然后将两孔洞砌死。这时用230×115×65毫米耐火粘土砖，在水梁上砌砖，墙当中按相等距离留出十六个115×172毫米的风眼（风眼总面积为0.32米²）准备往上引风。当砌到1.8米高时，在上面盖上一排钒土耐热水泥风帽，风帽下面要留出40毫米间隙，以便从风帽两侧往外跑风。风帽的做法：将钒土耐热水泥三分之一，碎耐火砖（小于15毫米）三分之二，加水配合混好，然后捣固成型，在大气中干燥后即可使用。

导风墙安装后到现在变化情况：

①导风墙：

使用四个月后，发现砖墙侧向稍有弯曲变形，但整个炉墙砌砖处于良好状态，以后变形逐渐严重，到七个半月时，侧向弯曲变形挠度达100毫米左右。在72年4月17日按装炉口干燥设备时，把导风墙拆掉重砌，直到现在没有变形。

②风帽：

开始用铸铁风帽，使用一个月就烧变形，氧化断裂，后改钒土耐热水泥，直到1972年3月19日按装炉口干燥设备时拆除，尚保持良好。

③水梁：

试验两个半月，因停水水梁端部开焊一次，第二次在试验后三个月零20天也在水梁端部开焊一次。直到72年4月17日换新水梁时，才发现水梁弯曲变形挠度达120毫米。水梁内部也结成了一层水垢。通过8个月的试验，虽然水梁在端部开焊两次，但我们认为这与施工时焊接质量不好有关。并不是由于温度高和气流速度影响的。

水梁是采用高炉与竖炉本身循环水，杂质多，进水温度在40℃左右。

④导风墙风眼：

试验二个半月时发现靠墙下部风眼都有堵塞现象，特别靠炉子两端堵的比较严重。试验三个月零20天时又发现堵塞，堵塞部位与第一次同。在试验7个半月时，仍然发现堵塞。

2. 炉内增设导风墙的作用。

(1) 消除了炉子上部中心“死料柱”。

原来，由于气流的边缘效应，中心气流极弱，形成炉中心“死料柱”（即透气性差，甚至完全不透气的湿料柱）。当下料速度加快时，“死料柱”成楔状向下伸入焙烧带，其上部则发展成愈来愈厚的湿料层，甚至引起塌料现象。同时，中心料层烧不透，在冷却带又冷不

下来。因而造成产量低、质量差、易结大块、破坏行程、喷吹严重，排料温度高等现象发生。炉中心设置导风墙，正好取代了“死料柱”，导风墙外壁的边缘效应和导风墙内导出到中心湿料层的冷却风，大大发展了中心气流，“死料柱”被消除。焙烧区湿料层大大缩小，因此，焙烧带不再受干扰和破坏。

(2) 形成较稳定的焙烧带。

原有冷却风全部穿越焙烧带，而且是大量吸热的过程，其流量又随料柱阻力变化而波动，使焙烧带在高度上和平面上的温度不稳定，干扰甚至破坏了焙烧过程。另一方面由于边缘效应的作用，冷却风沿炉墙上升，在喷火口同热废气发生“顶牛”，影响热废气吹入和减弱它的穿透能力。实现导风墙之后，部分冷却风从导风墙内导出，焙烧区内总气流量减少，在燃烧室压力显著降低的情况下，热废气吹入量增加并稳定，而且助长了热废气对料柱的穿透能力。因此焙烧带的区间固定（与冷却带区分开来了），温度也比较均匀稳定，从而使焙烧能力大大强化。这是生产率提高的主要因素。从料面观察，也改变了过去中心冒蒸汽，两边冒火的现象。使整个料面的炉料活跃起来。

(3) 提高了冷却效率。

冷却风从两侧吹入，部分由炉中心导出，对减弱冷却风的边缘效应起了一定作用。改善了冷却风的流向（穿越料柱），有利于热交换，加之上部高温料柱（约2200毫米）被短路，料柱总阻力大大减小，冷却风量大增，而风在上升过程中渐趋中心，使冷却带断面上的冷风分布均匀，因而提高了冷却效率。

(4) 干燥能力获得一定程度的强化。

由导风墙溢出的热风进入湿料层进行烘干，而且燃烧室废气量增加，不但加速了烘干和焙烧过程，也避免了焙烧前湿球形成的大料块。这对保证炉况顺行、炉内气流均匀分布是关键的一环。自试验以来，基本上消除了结块和炉顶大喷吹现象。

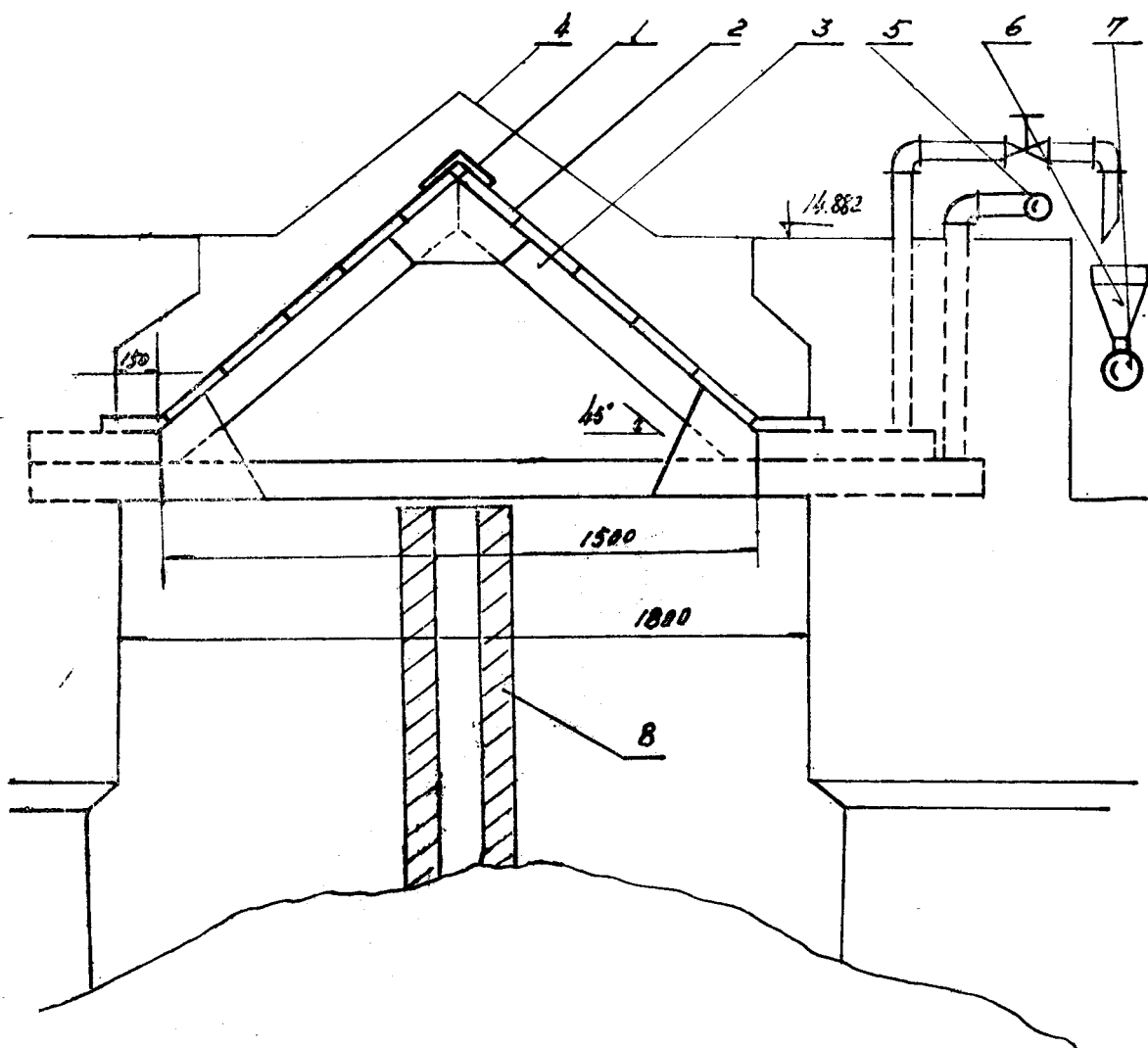
(四) 利用炉口余热进行烘干生球试验

炉内加导风墙试验成功以后，中心“死料柱”消除了，通过料层的热废气量增加，产量提高了。但进一步提高产量，就必须增加冷却风量与热废气量，这就出现了边缘气流过分发展和生球严重的吹碎现象，大量的热量白白跑掉，而中心炉料的透气性也随着变差。因此要进一步提高炉子生产能力，必须改变炉子干燥状态，提高炉料的透气性。

经过反复研究最后确定利用炉口余热，进行烘干生球试验方案。于1972年3月19日开始进行第一次试验。通过第一次试验暴露的问题，又经过近一个月的施工准备，于1972年4月17日又进行了第二次试验，到6月20日，经过两个月试验表明，这一措施，加速了干燥过程，提高了炉料透气性，强化了焙烧，达到了进一步提高产量的目的。

1. 第一次烘干装置结构（如图四）

竖炉炉顶烘干装置结构图(一)



8	导风墙
7	回水管 Φ3〃
6	漏斗 QS-01-4
5	上水管 Φ2〃
4	挡板 QS-01-3
3	托架 QS-01-2
2	篦子 QS-01-1
1	角钢 <125×12×4 80

图 4

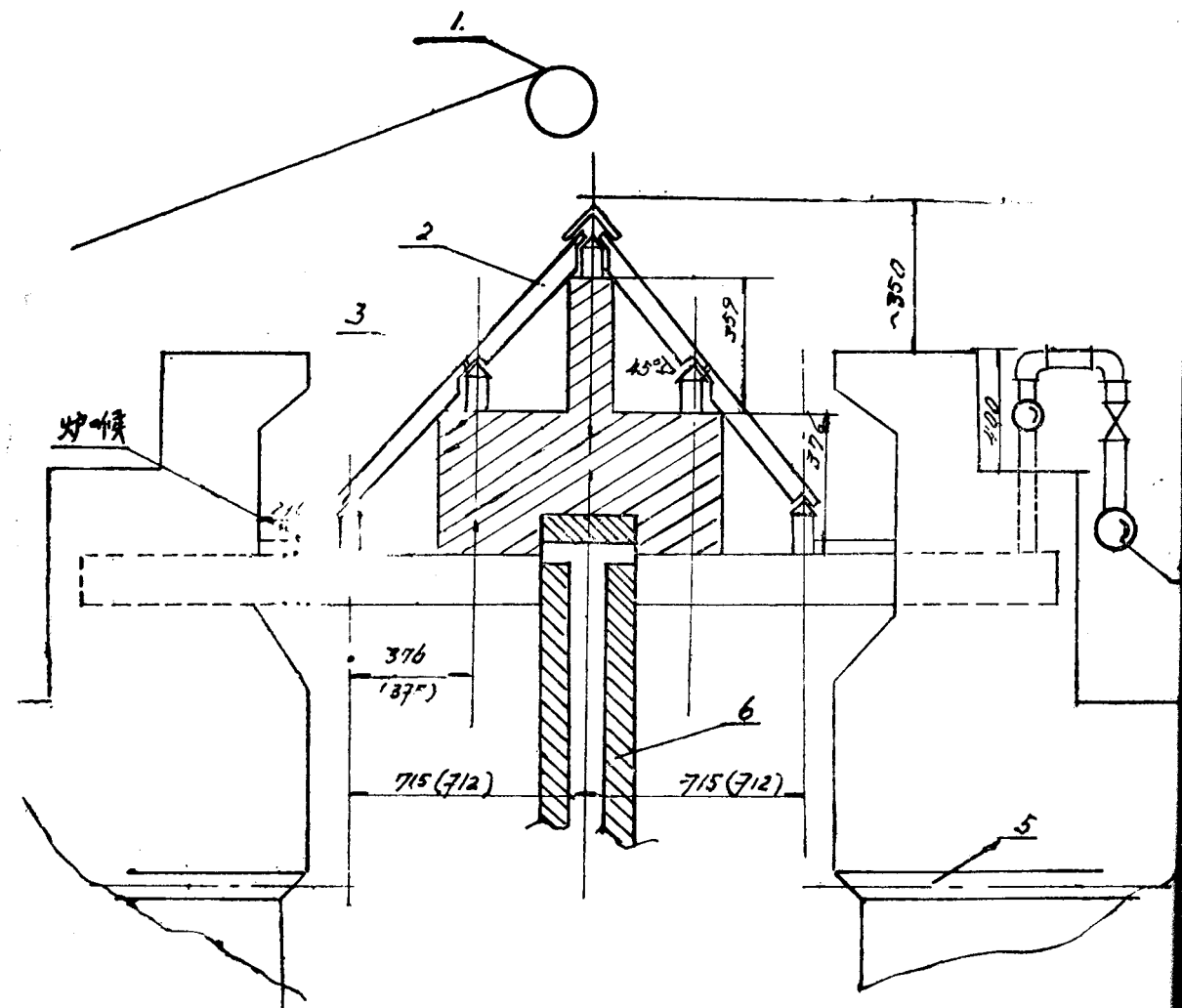
这次试验从1972年3月19日至26日共进行了七天，从炉子的工艺上看，生球通过炉篦子，基本烘干，达到了强化焙烧的目的，但通过这次试验也暴露出一些问题：①从喷火口到料面，料层厚度较薄，焙烧区域短，边墙生球吹碎现象严重。炉篦下的温度较高，经常达900℃。②炉篦下的两端墙壁，虽留出热电偶位置进行测温，但没有安装，试验时不能很快找到操作规律性，炉内温度忽高忽低，造成生产很不稳定。③布料车头轮与炉篦子顶端距离太近，造成尖端存料很薄，经常露出炉篦子，影响了烘干效果。

在结构上也出现了下面一些问题：

①炉篦子严重烧红变形，经过四到五班后变形弯曲挠度达150毫米（长度为700毫米），而且炉篦子表面氧化剥落起皮，以后虽用高硅或Si铸铁但没有进行球墨化处理，仍不能抵抗住高温下的变形。②炉篦子托架由于两次断水，托架开焊变形，试验时水量比较合适，水温经常在68℃左右（进水温度40℃）。③试验开始时发现炉篦子顶端保护板（100×100毫米角钢）变形严重，以后将其割成约600毫米为一段，解决了变形问题。

2. 第二次烘干装置结构（见图五）

竖炉炉顶烘干装置结构图（二）



1	布 料 车
2	炉 篦 子
3	冷 却 水 梁 (5条)
4	横 水 梁
5	火 道
6	导 风 墙

说明(1)耐热铸铁炉篦子520×20共660根，单重3.8Kg，总重2500Kg。

(2)炉篦缝隙8mm，烘床有效面积2.532M²

这次试验比较全面的总结了第一次试验的经验教训，对烘干结构进行了一些改进。经过二个月试验，烘干结构使用良好。①将原来炉篦子缩短加厚改窄，变成单根炉条，其材质采用含铬约35%的耐热铸铁(实际分析其成分为(C: 5.35 S: 2.14 Mn: 1.5 Cr: 38.5)，经二个月试验在550—750℃温度条件下和强氧化气氛中，弯曲变形挠度仅1—2毫米。②水梁经二个月试验，处于良好状态，但炉篦子顶端一根水梁由于断水弯曲变形，后来拿下来调直后按好。③炉子焙烧带增加200毫米，炉口干球层高度增加200毫米，皮带头轮与炉篦子顶端距离相应提高，基本上解决了边墙生球爆裂现象，防止了炉篦子露出影响烘干的现象。④增加了测定炉篦子下温度和导风墙排出的冷风温度的热电偶，初步的找到了排料速度的规律性。⑤炉喉适当扩大(宽度增加到240毫米)，基本消除了卡料现象。

3. 烘干的作用。

(1)炉口增设烘干措施后，增加了烘干面积(达9米²)，炉内的热废气(由导风墙导出的冷却风——实际是热风，同穿过炉内料层排出的热废气在炉篦下空间进行混合，其温度在550~750℃)，经过炉篦子上面料层(约150毫米厚左右)时将湿球烘干。湿球从炉篦子顶端移动到炉喉的过程中，在炉内热废气的作用下，湿球水份迅速蒸发，约经5—6分钟，水份由原来的8.5%左右降到1.5%以下。烘干后的生球在通过炉喉时按自然堆角(实际测定堆角为35°25')，向炉子中心滚动，进行炉料的再分布。由于球的粒度不均，小球和粉末多聚结在炉墙附近(离炉墙240毫米)，而大球具有大的动能，多滚向中心导风墙(见表五)。这样

炉内不同地点粒度组成

表五

取样地点 斜线	粒度组成 > 15 mm	15—5 mm	< 5 mm
导风墙	8.2%	15.2%	2.8%
中间(离炉墙360mm)	6.2%	31.6%	6.4%
炉墙	73.6%	16.7%	9.7%

①由于炉墙料层加厚和接近炉墙多聚结小粒和粉末，基本上控制了边缘气流的过分发展。相反的由于中心料层减薄和多聚结大球，有利于中心气流的发展，从而扩大了燃烧室废气的穿透能力，强化了焙烧。

②解决了过去入炉湿球变形，彼此之间易粘连的现象，炉料透气性得到了很大的改善；又由于料层适当降低，使料层阻力减少，燃烧室和冷却风压力的显著降低。这样进一步增加了燃烧室废气量和冷却风量，强化了焙烧。

(2)增加烘干措施，生球烘干后呈现散料状态，消除了生球在焙烧过程中的粘结现象，使料层透气性改善，形成更加合理的焙烧制度，从而提高成品球的强度和脱硫率。

(3)增加炉口烘干措施后，由于气流首先在炉篦下空间混合，均匀通过篦上料层，消除了过去由于边缘气流局部过大温度过高引起的湿球爆裂现象。进入炉喉的生球，由于在炉篦子上得到了进一步烘干，显著的提高了耐压强度和破裂温度，这就增加了热废气量，强化了焙烧，提高了生产率。

(4)提高了热利用。

采用炉口烘干后，由于使炉篦下热废气(温度约650℃)经过湿料层时进行热交换，表面温度降到110℃左右(测定数字为炉篦子上部50℃，中间110℃，靠炉墙180℃，平均113℃)，有效的利用了炉口热量。

(5)布料设备进一步减少，布料操作大大简化。采用炉顶烘干措施后，简化了布料工艺，布料车由原来的平面布料改为直线布料，大大方便了操作。取消了布料小车后，节省了一套传动装置，并给下一步改为一条皮带机布料，创造了条件。

4. 试验中存在的问题和操作注意事项：

(1)炉篦子间隙是10毫米左右，生产试验后出现堵塞现象，一般一周至二周要清理一次炉篦子，否则就要影响烘干效果。

(2)在操作上还不能适应新的生产工艺要求，如原料条件不变时，炉口废气温度究竟控制多少，热废气和冷却风量的加入量应该是多少合适，热废气和冷却风量怎样配合，还没有摸出经验。因此造成球团矿质量的波动，产量有时忽高忽低。

(3)在开炉时一定要注意把熟球布满炉篦子，当废气温度上升到600℃时，才能布生球进行生产。否则炉篦子温度不够，造成严重生球粘炉篦子和生球卡炉喉的事故。如果不布熟球，直接往炉篦子上布生球，也会造成粘料现象，同时由于烘干效果不好，当生球到炉喉时，遭到边墙气流严重吹碎。

(五) 混合料烘干措施

金岭精矿粉水份高，超过造球时需要的适宜水份，使造球困难，特别是在严冬季节，精矿粉冻结，造球更加困难。虽然在精矿仓及造球室安装简陋的防寒设施，但仍无济于事。为着降低混合料水份，给造球创造条件，曾在今年三月份，在圆筒混料机后边，装设燃烧高炉煤气的烘干炉，热废气由圆筒混合机出料端进入，进料端烟囱逸出。经六月初测定，其烘去水份平均值为0.41% (烘干前平均混合料水份8.54%，烘后8.13%)，有一定效果，但仍不能满足造球需要。